

広島大学工学部 正員 山口 登志子  
広島大学工学部 正員 寺西 靖治

### 1. はじめに

下水の土壤処理における窒素除去過程は硝化・脱窒素の二つのプロセスが基本である。土壤へ供給された下水中の $NH_4-N$ は土壤中の硝化菌により好気的条件下で $NO_2-N$ と経て $NO_3-N$ に酸化され、さらに次の段階として脱窒素菌により嫌気的条件下で $N_2$ ガスにまで還元される。この硝化・脱窒素のプロセスにおいて、一般に $NO_2-N$ は中间生成物的存在であり、土壤中にはほとんど蓄積しないといわれる。しかし、いずれの過程においても $NO_2-N$ を経て反応が進むことは明らかであり、 $NH_4-N$ が $NO_2-N$ に酸化された段階で $NO_2-N$ から直接 $N_2$ ガスに還元される反応経路も考えられる。そこで本研究では、土壤中における $NO_2-N$ の酸化還元過程を明らかにする目的で、土壤カラムを用いて $NaNO_2$ 溶液( $C/N=0.4, 0.8$ )の定濃度連続供給実験を行い、飽和浸透および不飽和浸透の2種類の浸透流の条件下で、土壤中の $NO_2-N$ ,  $NO_3-N$ ,  $NH_4-N$ の分布を経時的に調べ、 $NO_2-N$ の挙動について考察を加えた。さらに反応項を含む移流分散方程式を適用して実測データの解析を試みた。

### 2. 実験方法

用いた実験装置は図-1に示すような内径20 mm, 長さ1200 mmの塗ビカラムにマサ土(比重2.63)を充てんしたもので土壤内の溶液を採水するための採水装置を10 cm間隔にとりつけた。 $NaNO_2$ 溶液の供給はマリオット式定水量供給装置を用いた。図-1は飽和浸透流用の実験装置でタンクのバブルチューブと流出ロビのヘッド差により流量を調節した。不飽和浸透流用の装置は図-1と同様のものでマリオットタンクから電磁弁を経て、カラム上部の散布装置の注射針から溶液を供給した。土壤カラムへのマサ土の充てん量は飽和流用、不飽和流用でそれぞれ47.2, 50.5 kg(乾燥土)で深さ100 cmに充てんした。充てん時の隙率はそれぞれ0.43, 0.39である。実験条件は表-1の通りで、 $NaNO_2$ 溶液に有機炭素源としてメタノールを加え、 $C/N=0.4, 0.8$ とした採水は2~4日毎に行い、GFPで3週して分析に供した。分析項目は $NO_2-N$ ,  $NO_3-N$ ,  $NH_4-N$ である。流出水についてはさくにTN, pH, ECを測定した。

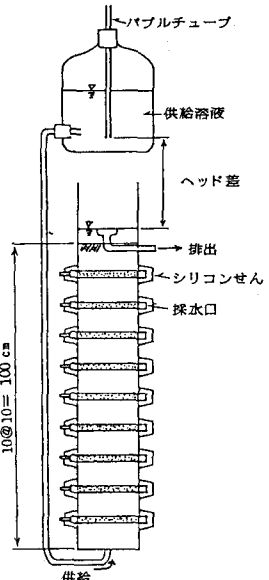


図-1 実験装置

表-1 実験条件

Run	$NO_3-N$ 濃度(mg/l)	$C/N$	流量 (ml/h)	流速 (cm/h)	供給 方式	実験継続 日数(日)
1	20	0.4	210±40	2.0±0.4	飽和流	28
2		0.8	180±40	1.9±0.4		29
3		0.8	440±70	6.0±0.9	不飽和流	75

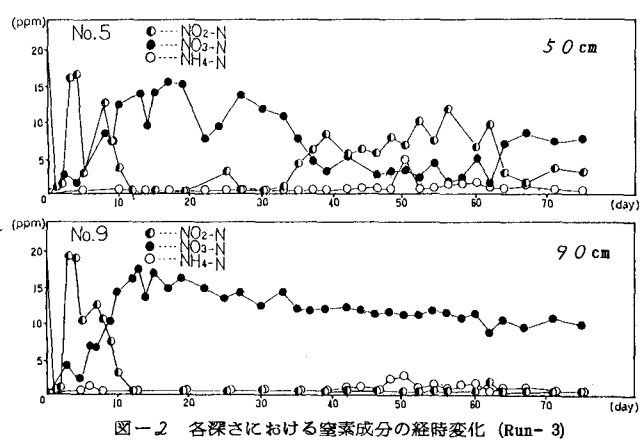


図-2 各深さにおける窒素成分の経時変化 (Run- 3)

### 3. 結果と考察

図-2にRun 3における深さ50, 90 cmでの各N成分の経日変化を示す。深さ50 cmではNO<sub>2</sub>-N, NO<sub>3</sub>-Nの変動が大きく、深さ40～60 cmでは同様の傾向がみられた。その他の深さにおいては90 cmでの経日変化とほぼ同様で大きな変動はみられなかつた。この原因は不明である。NH<sub>4</sub>-Nは図に示されよう検出量は微量であった。図-3にRun 1～3の定常期における各N成分のカラム内分布を示す。Run 1ではC/N=0.4であるため、脱窒素が完了していない。脱窒素菌の異化・同化作用を含めた亜硝酸性窒素還元反応におけるC/Nの理論値は0.57である。従つて、C/Nを0.8として行つてRun 2では脱窒素はほぼ100%完了している。なあ、Run 2はRun 1が定常に達した後、C/Nを変えて実験を行つたものである。Run 1, 2ではNO<sub>3</sub>-N検出量は1 ppm以下、NH<sub>4</sub>-Nは0.4 ppm以下であり、反応経路はNO<sub>2</sub>-N→N<sub>2</sub>↑と考えられる。これに対して不飽和流を行つてRun 3では、NO<sub>3</sub>-Nが10 ppm程度検出される。NH<sub>4</sub>-Nはほとんど検出されないので、反応経路はNO<sub>3</sub>-N→NO<sub>2</sub>-N→N<sub>2</sub>↑と考えられる。飽和流と不飽和流という条件の相違により、反応経路が異なるのは酸素供給量に差があるためと考えられる。図-4はRun 3の流水における各N成分の相対濃度の経時変化を示す。図においてNO<sub>2</sub>-Nの減少量がすべてN<sub>2</sub>に変換されたものとしてC/C<sub>s</sub>で表わした。

このような土壤中のNの生物学的変換過程を記述するには一般に反応項を含む移流分散方程式が用いられる。Michaelis-Menten反応とともにうつる移流分散方程式の定常解を図-5に示す。ここで、K<sub>M</sub>: Michaelis定数、D: 分散係数、u: 実測速、C<sub>s</sub>: N供給濃度(一定)、k<sub>0</sub>, k<sub>1</sub>: 反応速度係数である。Run 2について脱窒素を1次反応と仮定して図-5の2式を適用して求めると、0.15 (hr<sup>-1</sup>)が得られた。図-6に実測値と理論曲線を示す。Run 3についても0次反応を仮定して1式よりた。求めたが(0.56 mg/L·hr)、実測値と理論曲線との充分な整合性は得られなかつた。なあ、実測した分散係数はRun 2, 3で2.57, 1.11 (cm<sup>2</sup>/hr)である。

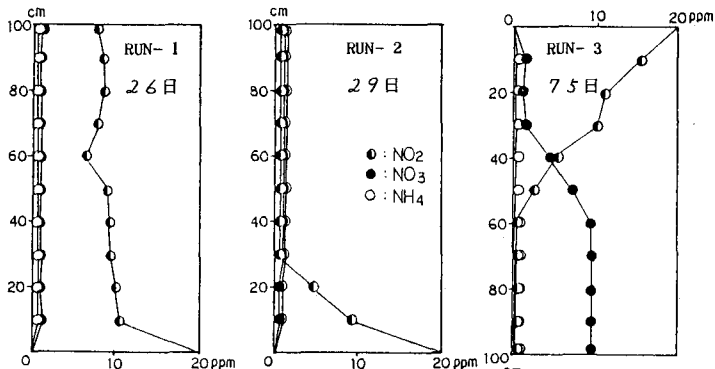


図-3 定常期の窒素成分のカラム内分布

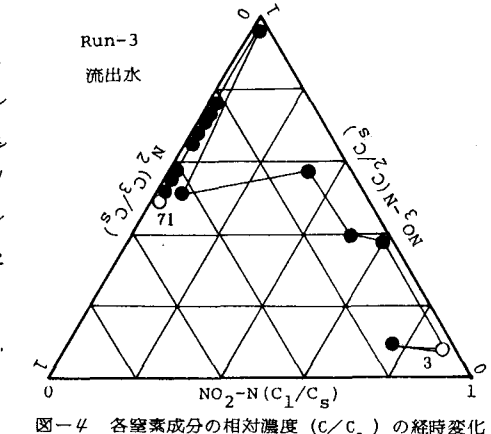


図-4 各窒素成分の相対濃度(C/C<sub>s</sub>)の経時変化

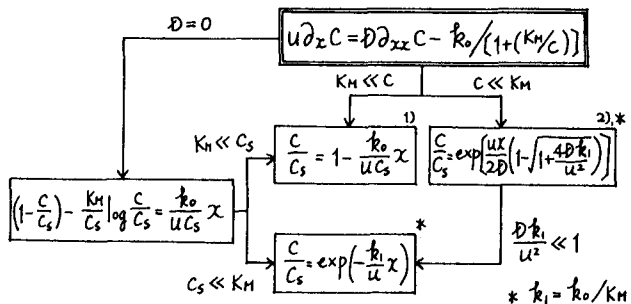


図-5 Michaelis-Menten 反応をともなう移流分散方程式の定常解

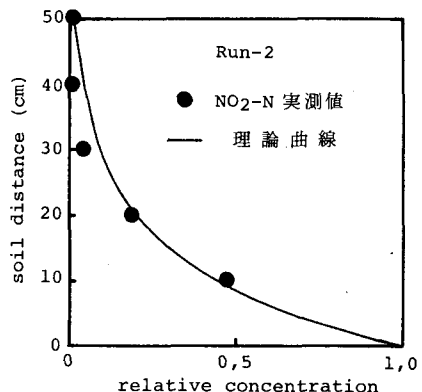


図-6 実測値と理論曲線